

Abbildung 1: 12s 611 – 632. Modifiziert.

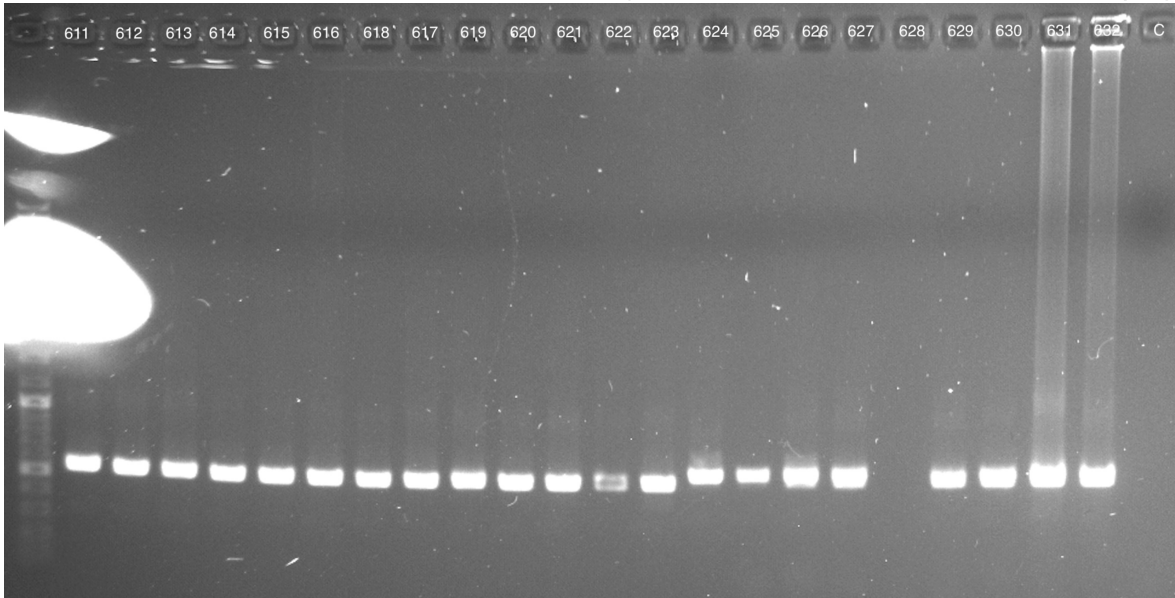


Abbildung 2: 16S 611–631. Modifiziert.

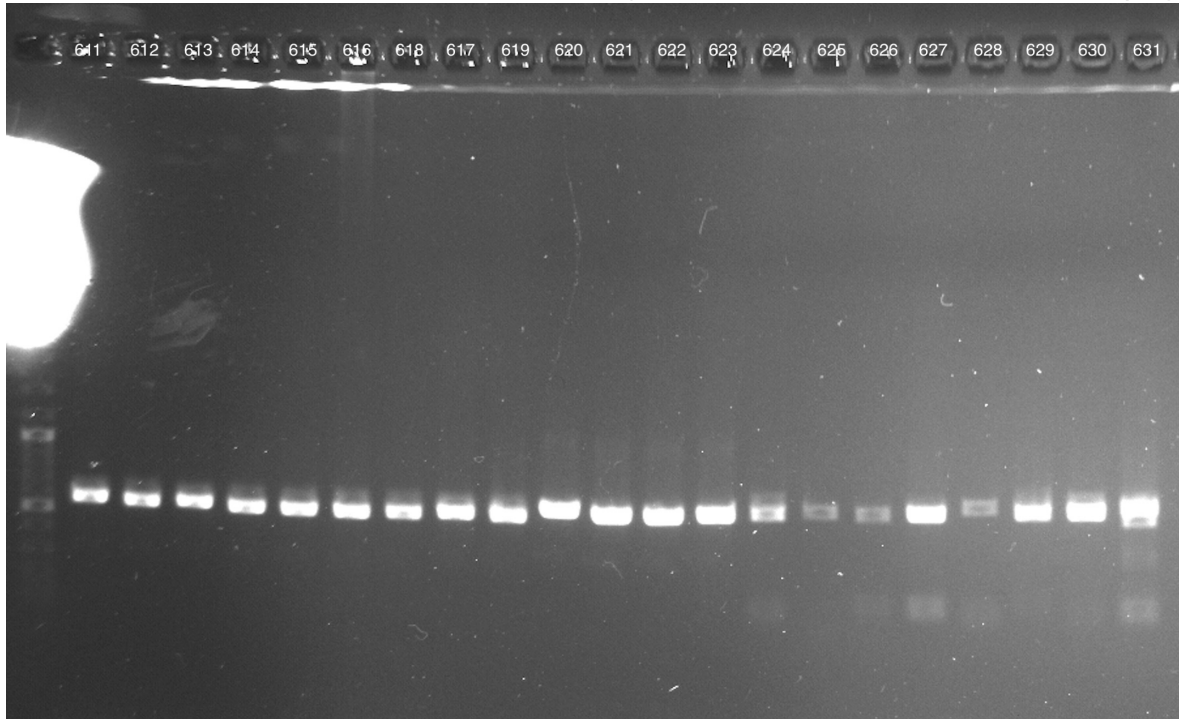


Abbildung 3: 28S 611–631. Modifiziert.

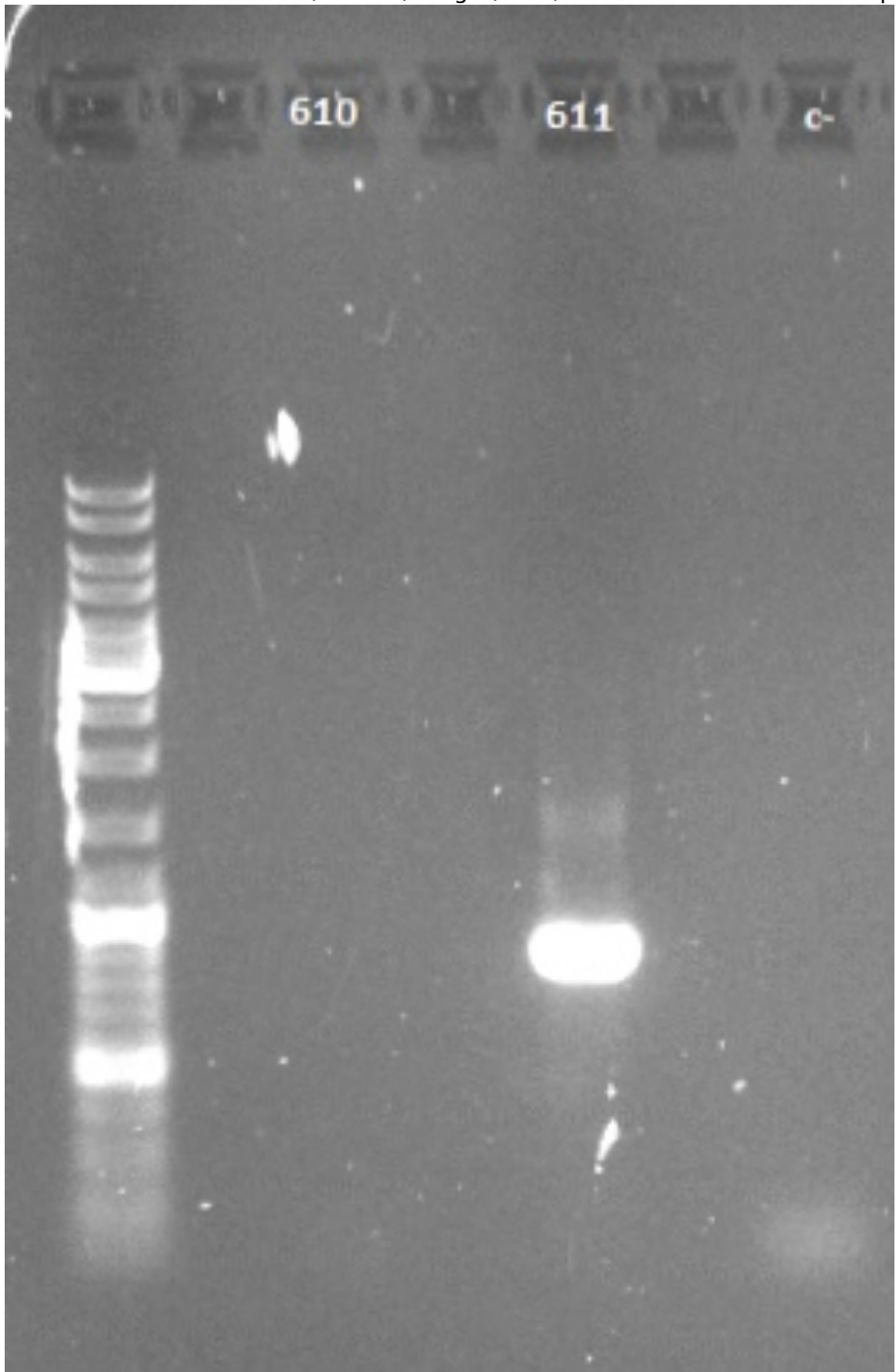


Abbildung 4: CO1 610–611. Modifiziert.

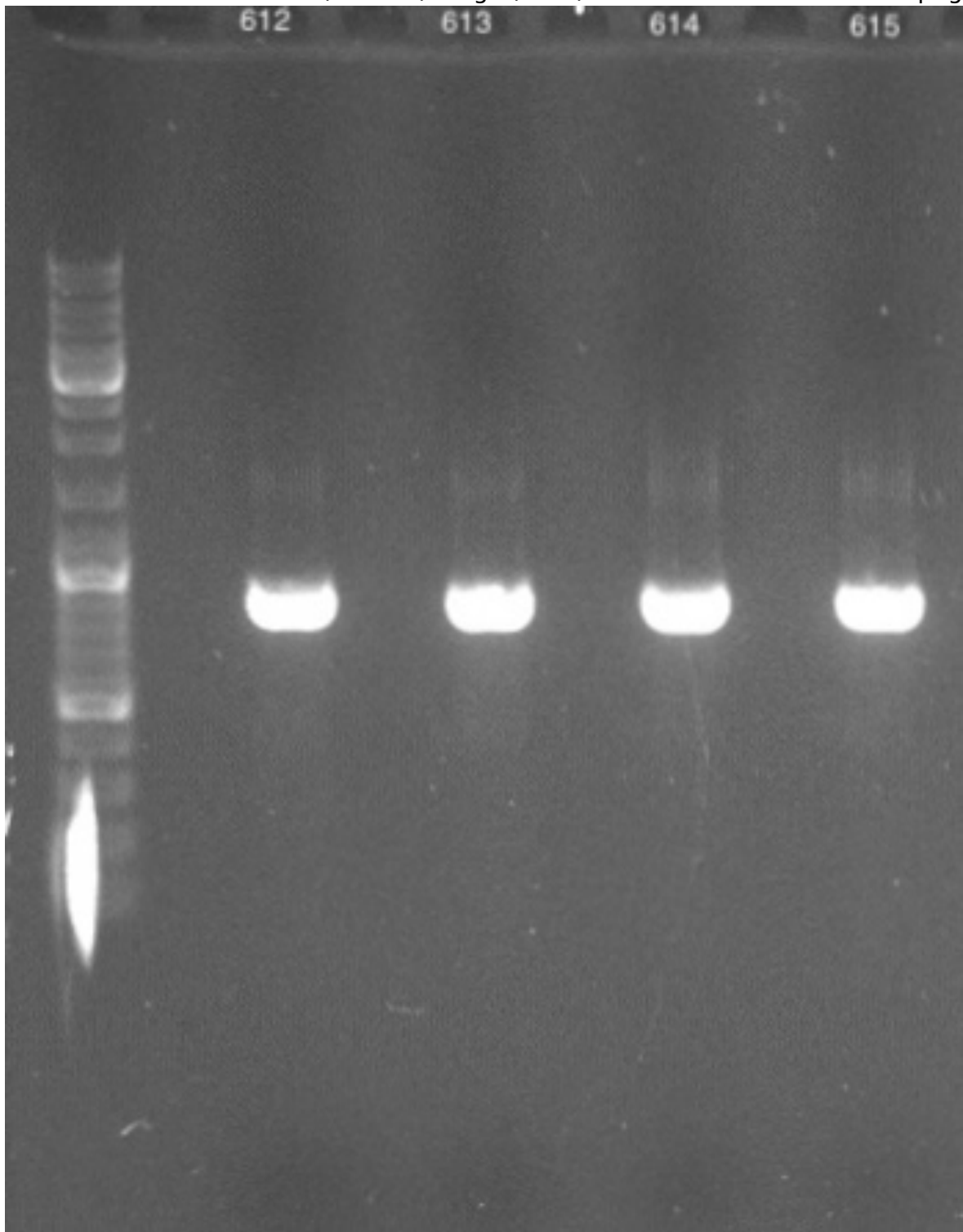


Abbildung 5: CO1 612–615. Modifiziert.

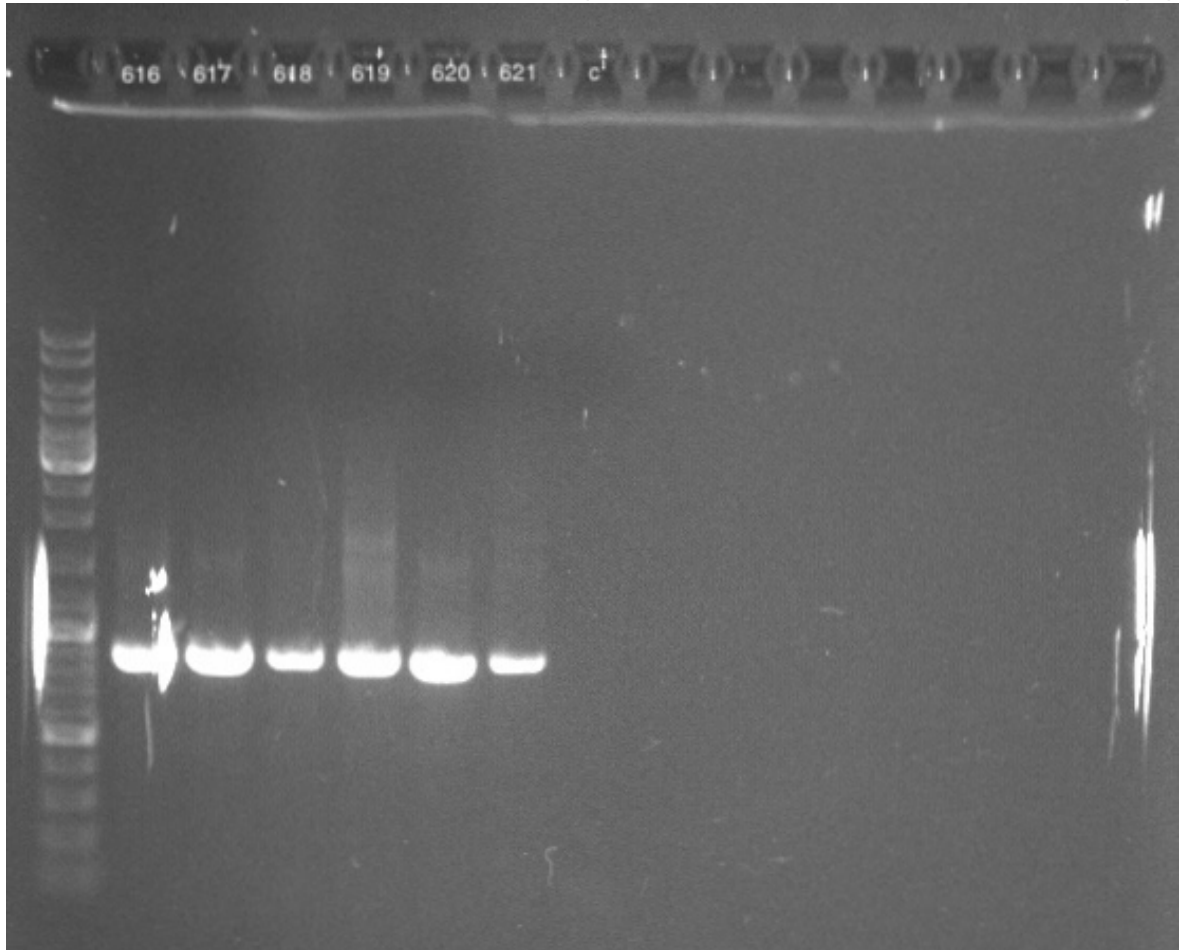


Abbildung 6: CO1 616–621. Modifiziert.

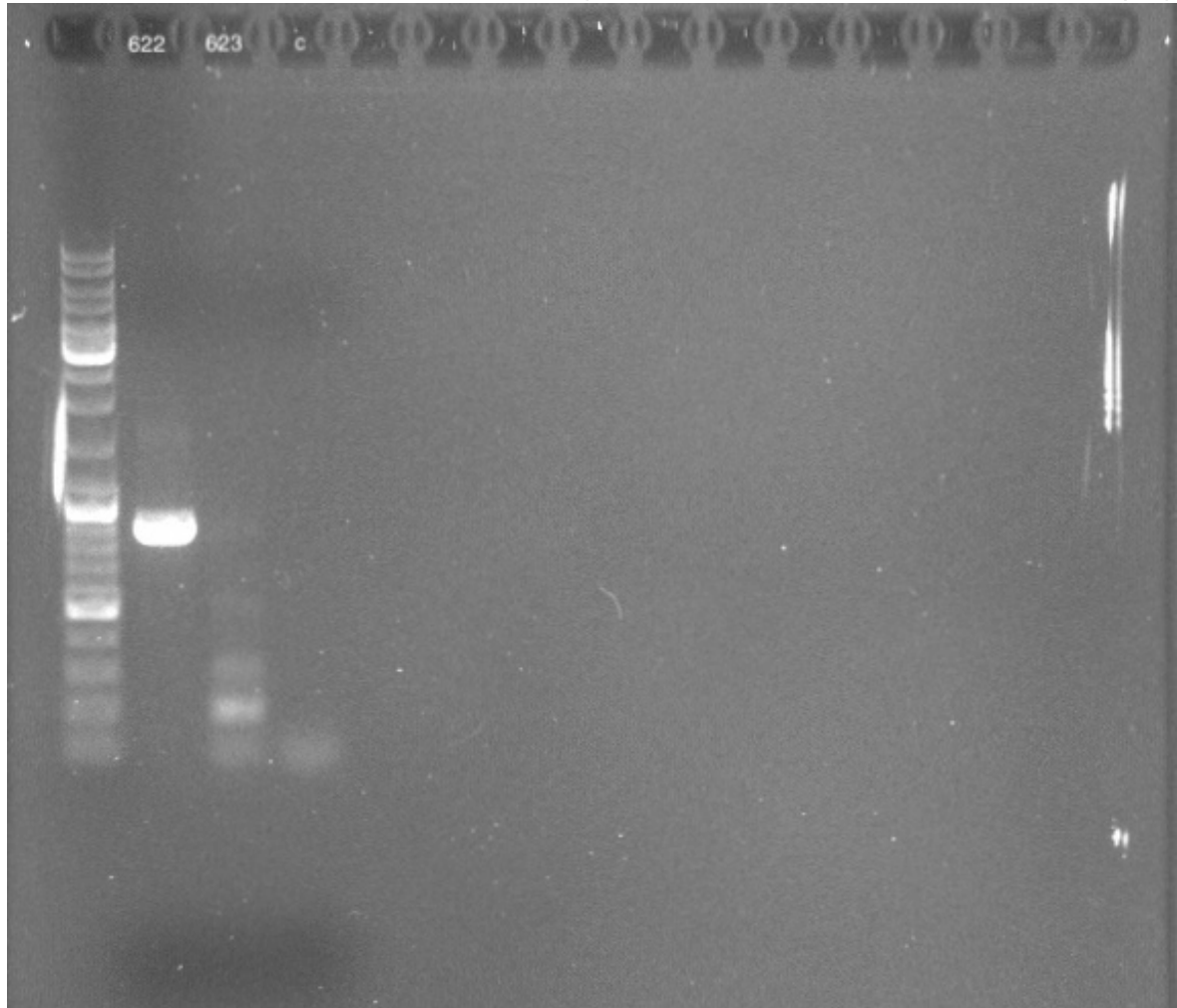


Abbildung 7: CO1 622–623. Modifiziert.

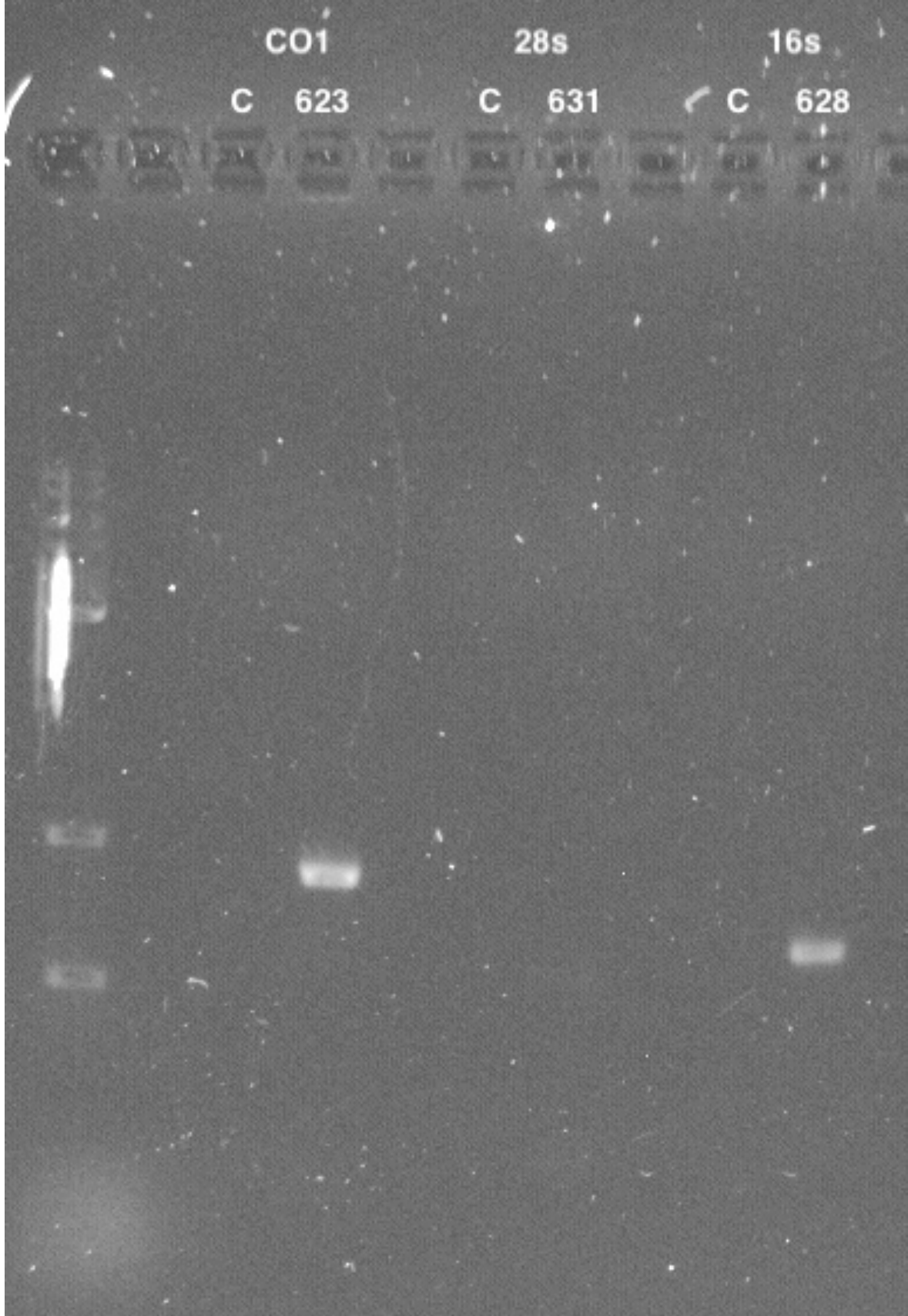


Abbildung 8: CO1 623 28s 631 16s 628. Modifiziert.

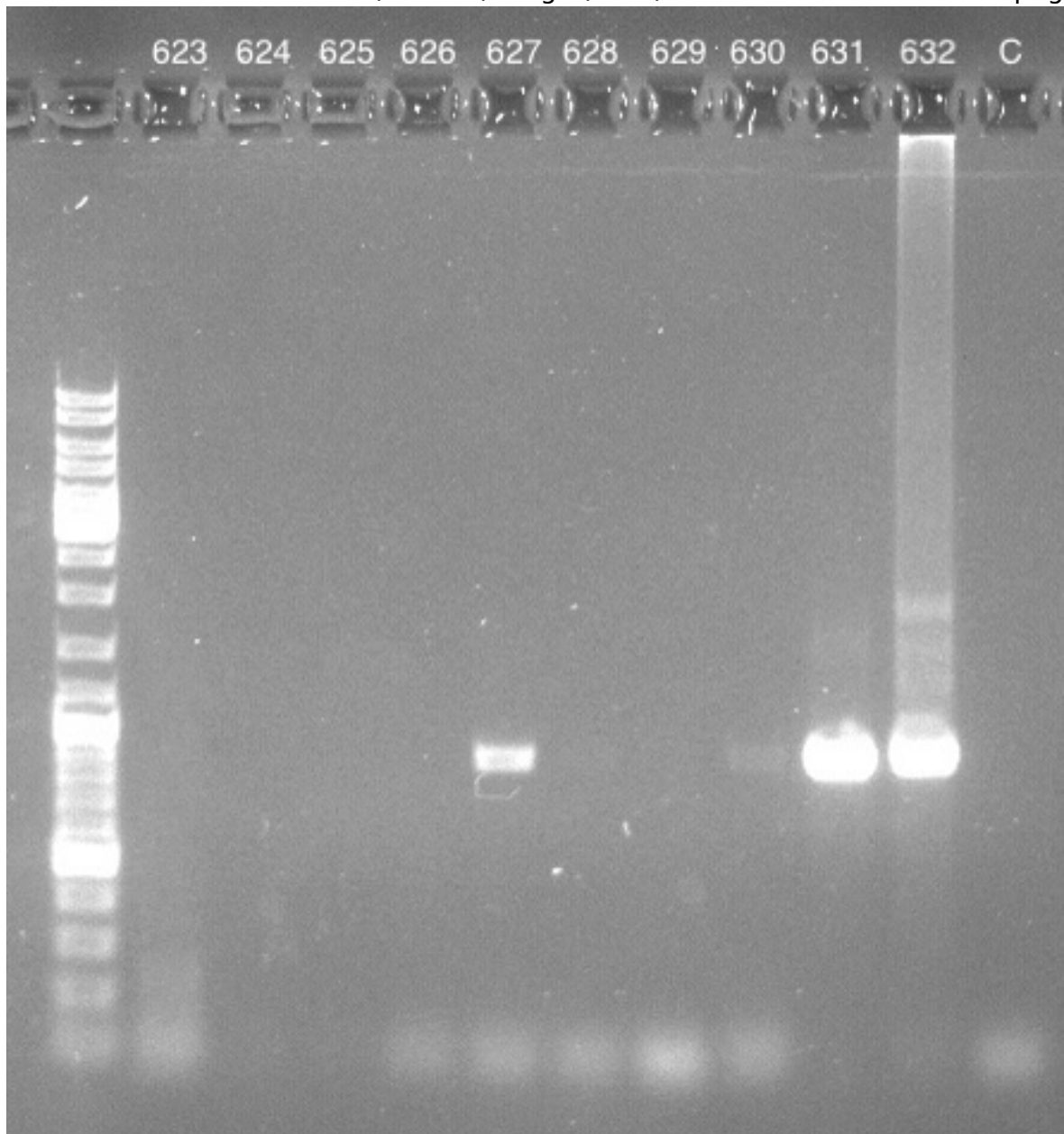


Abbildung 9: CO1 623–632. Modifiziert.

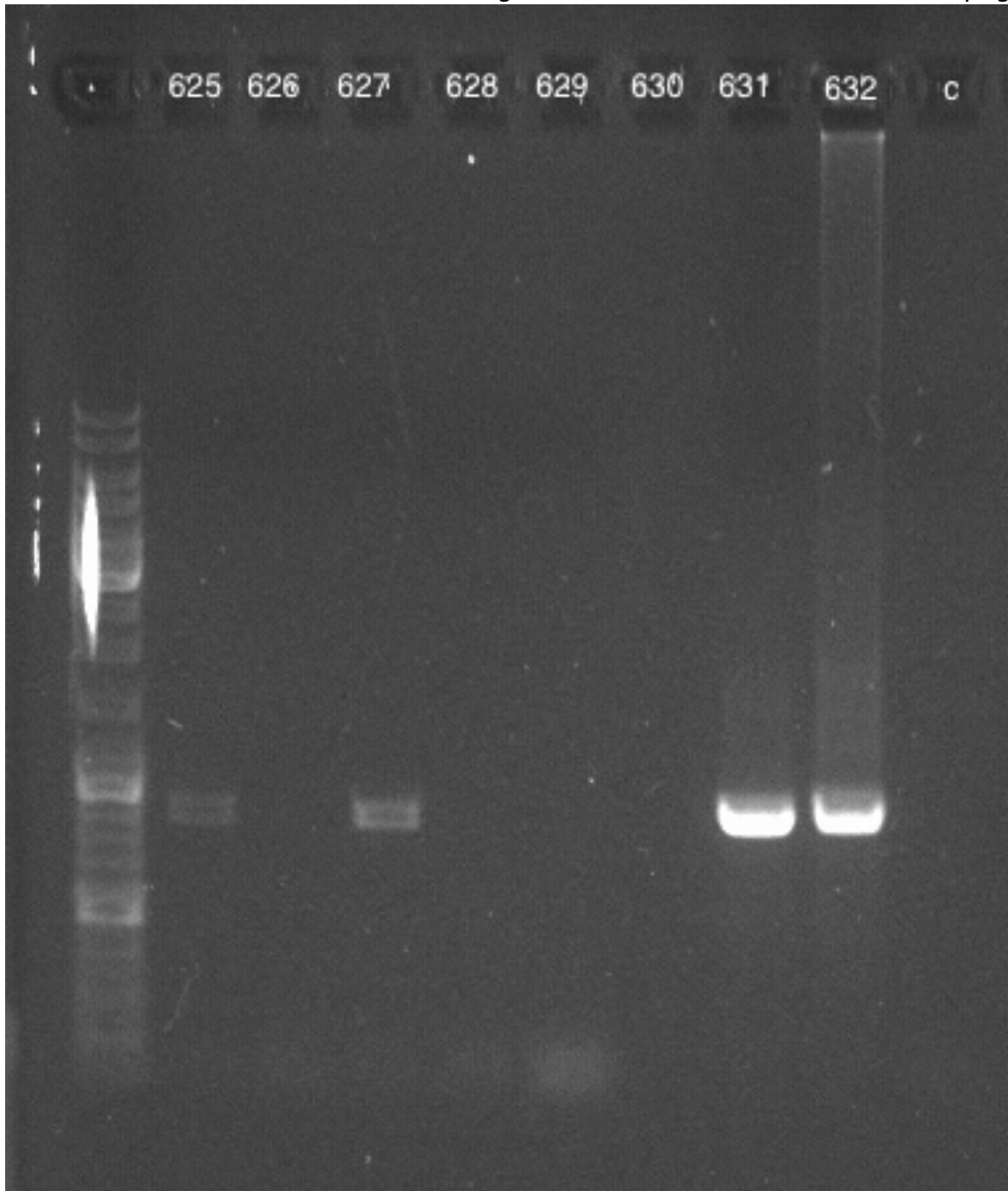


Abbildung 10: CO1 624–632. Modifiziert.

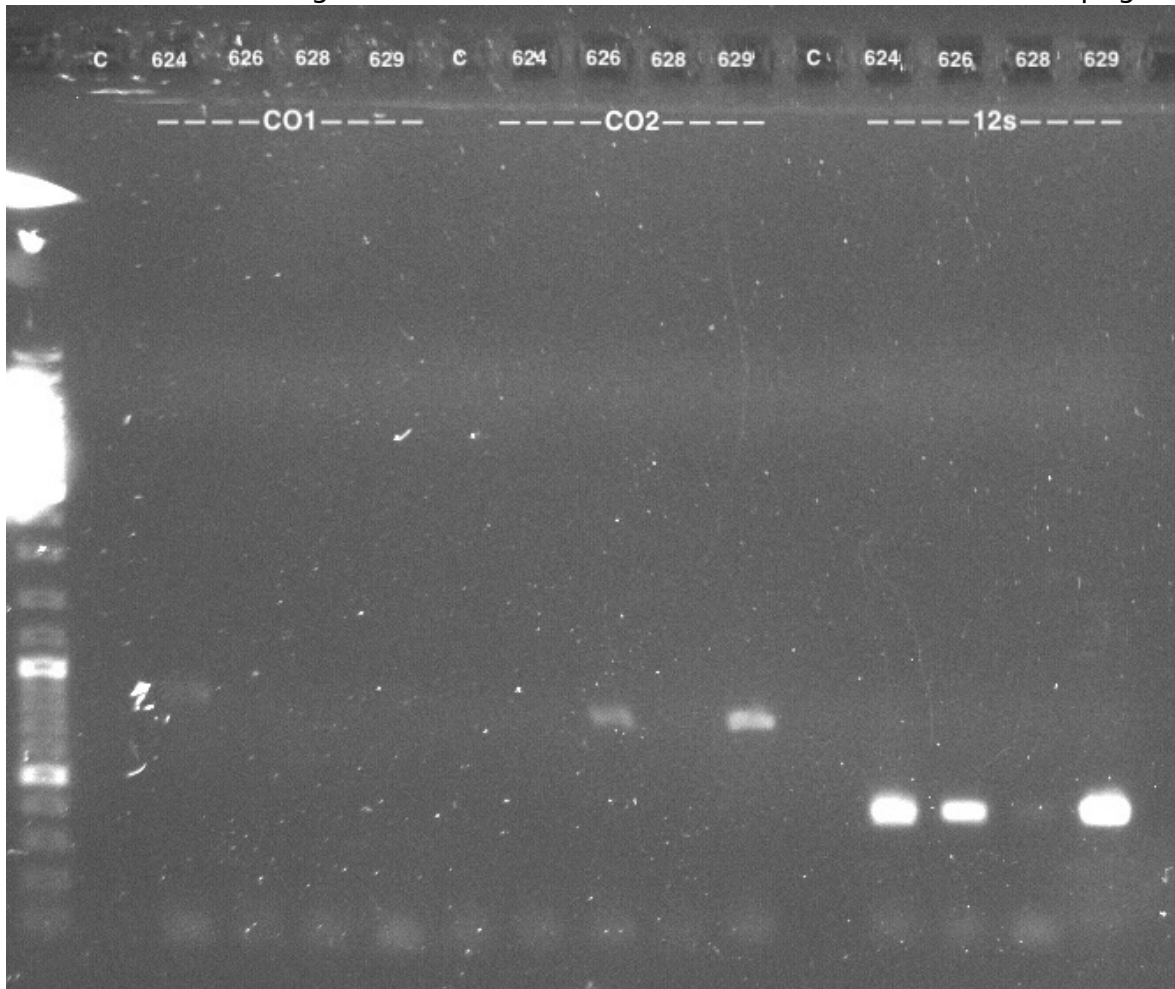


Abbildung 11: CO1 CO2 12S 624, 626, 628–629. Modifiziert.

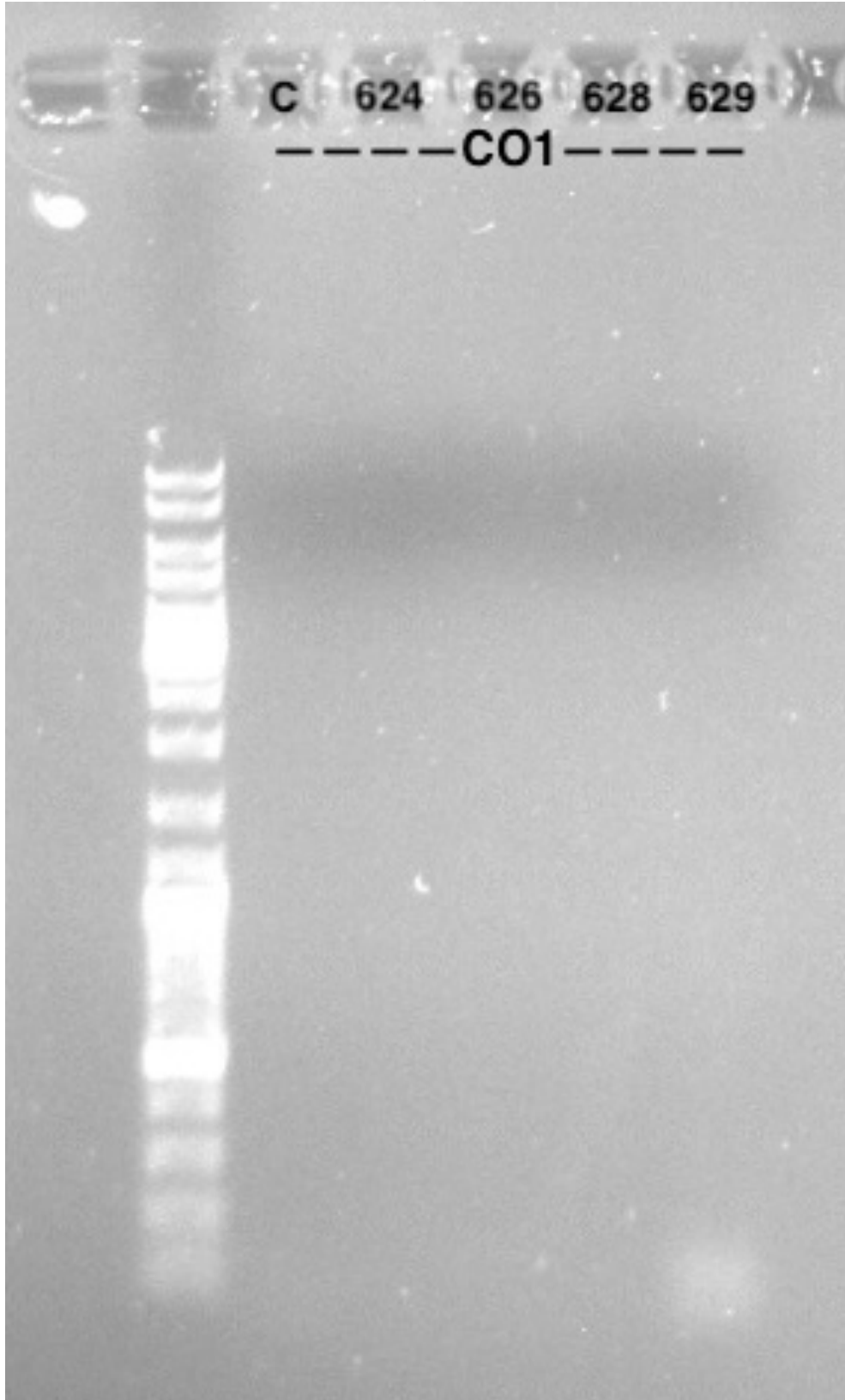


Abbildung 12: CO1 624, 626, 628–629. Modifiziert.

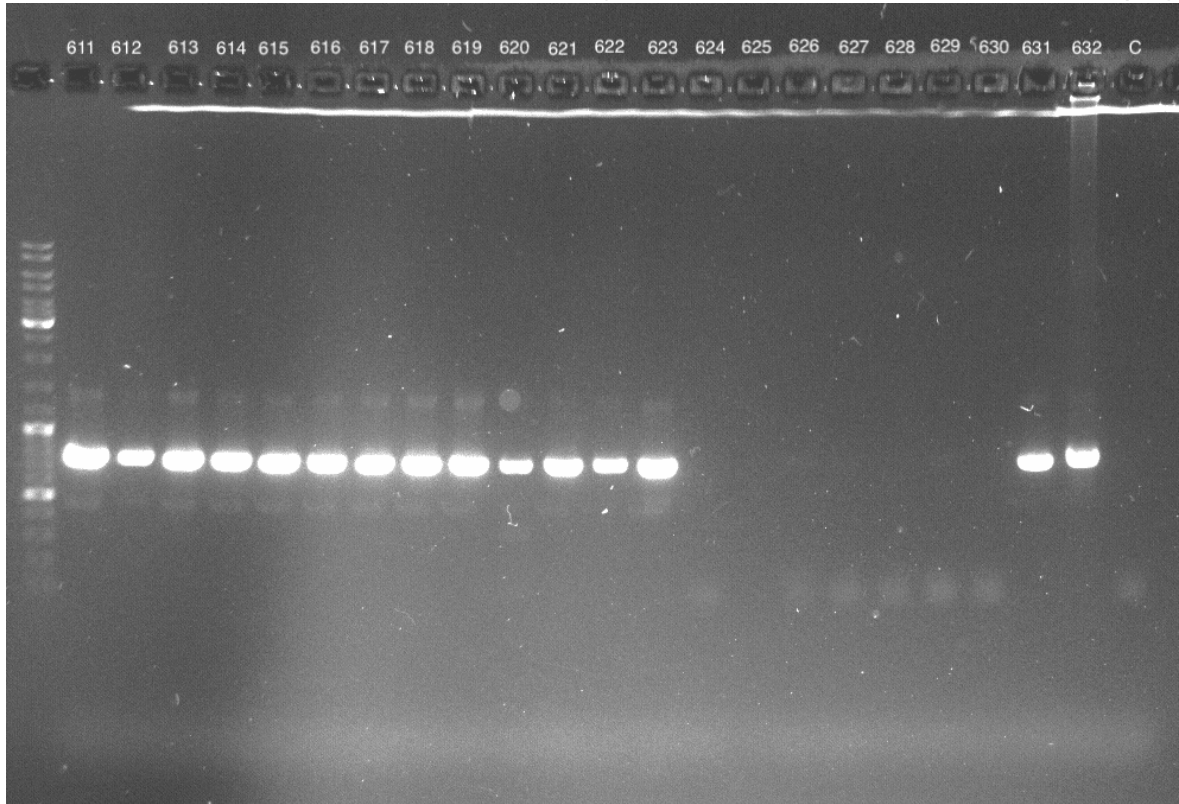


Abbildung 13: Versuch 2 CO2 611 – 632. Modifiziert.

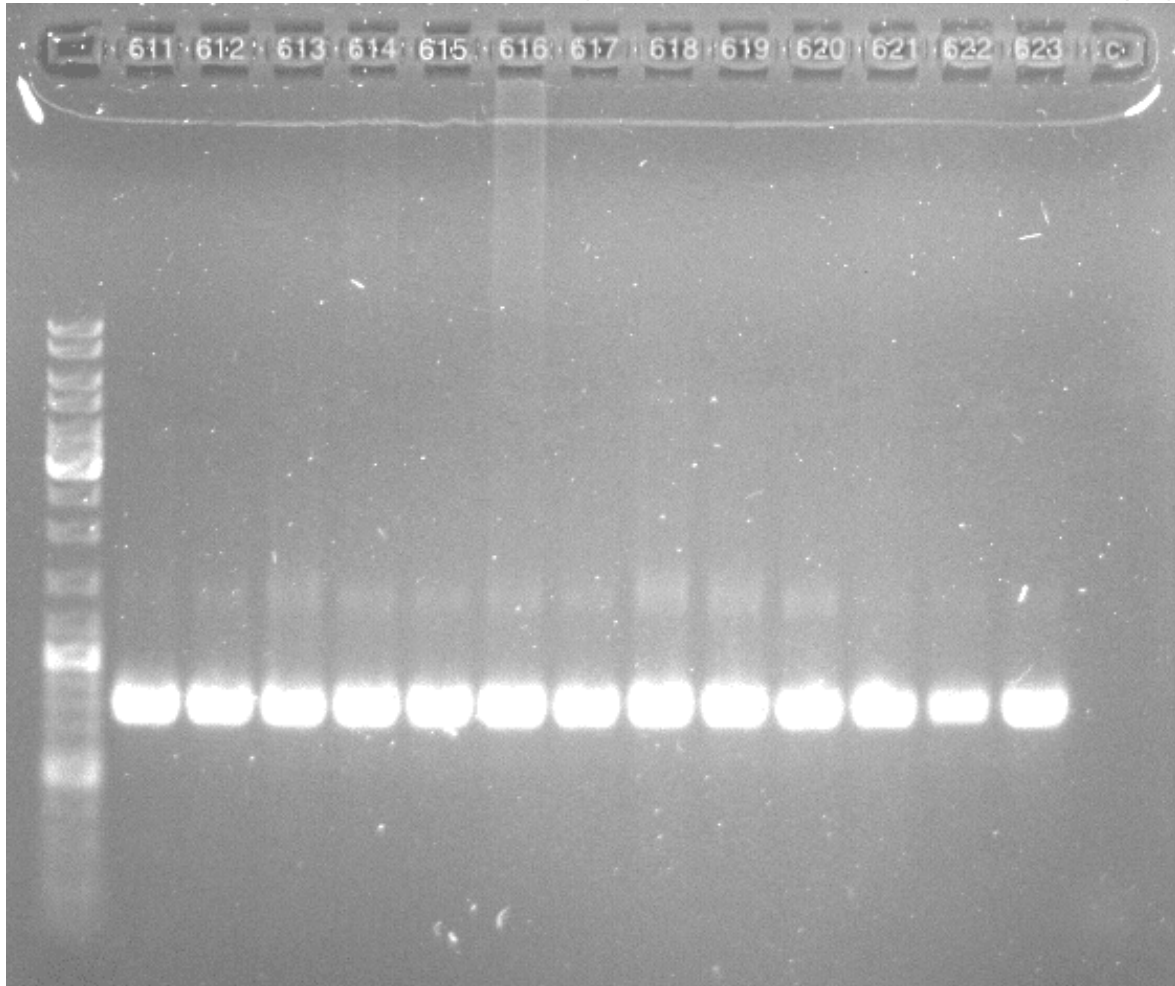


Abbildung 14: CO2 611 – 623. Modifiziert.

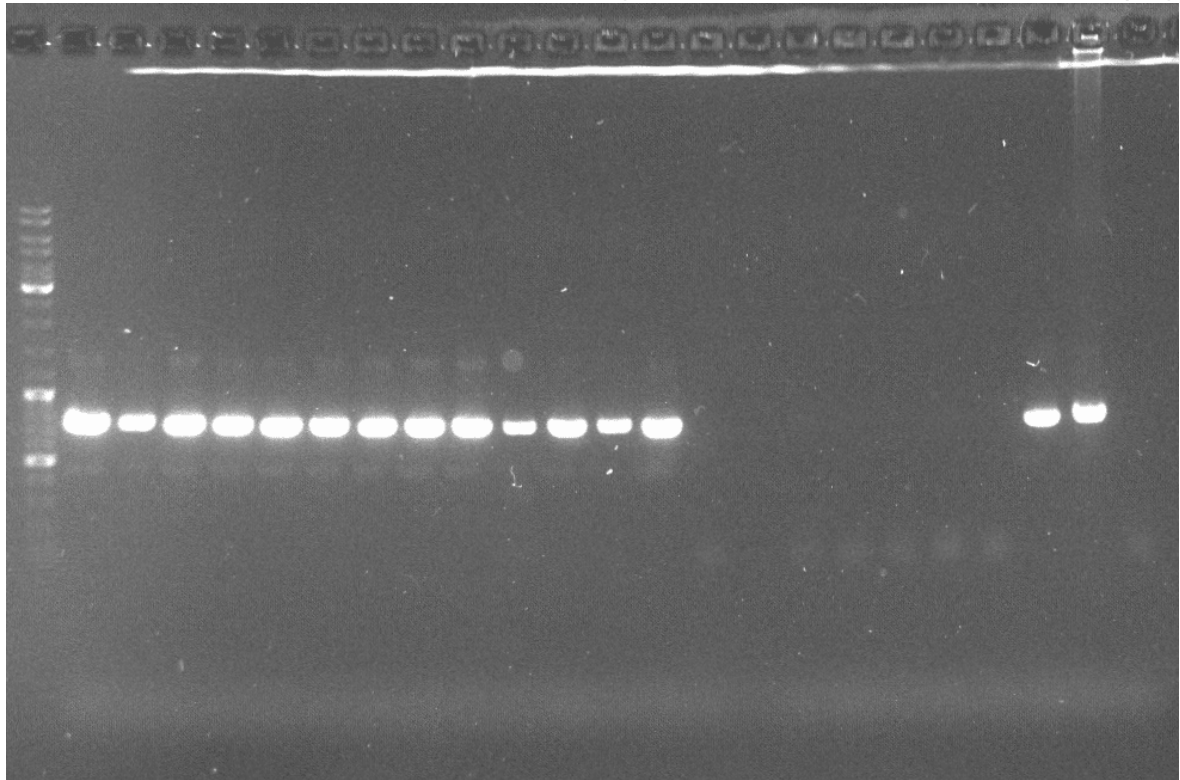


Abbildung 15: CO2 611 – 632. Modifiziert.

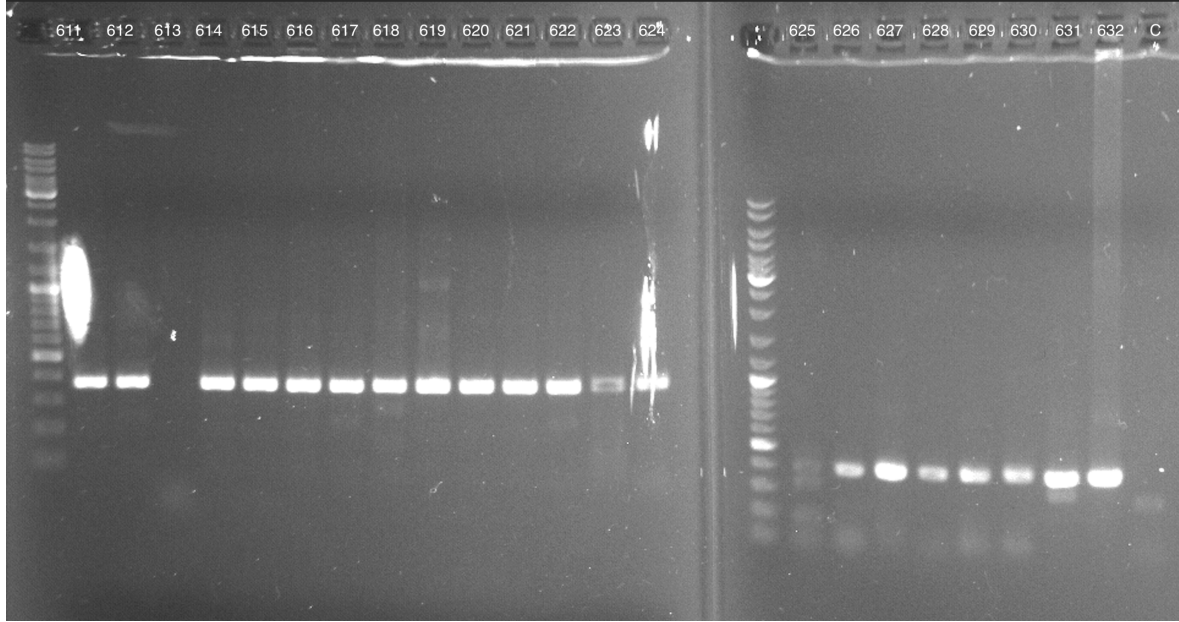


Abbildung 16: H3 611–632. Modifiziert.